

Exercice n°2 : filtrage fréquentiel

$$e(t) = \frac{8E}{\pi^2} \sum_{p=0}^{\infty} \frac{1}{(2p+1)^2} \cos[(2p+1)\omega_0 t]$$

$$d_{(2p+1)e} = \frac{8E}{(2p+1)^2 \pi^2}$$

① filtre passe bas ordre 1

② Harmonique de rang 5 $\Rightarrow \omega_5 = 5\omega_0$ ($p=2$)

Puissance moyenne dissipée par l'harmonique de rang 5 : $\bar{P}_{5e} = \frac{d_{5e}^2}{2R}$

(puisque $d_{5e}(\text{eff}) = \frac{d_{5e}}{\sqrt{2}}$)

$$\Rightarrow \text{on veut } \bar{P}_{5\Delta} = \frac{1}{2} \frac{d_{5e}^2}{2R} = \frac{d_{5\Delta}^2}{2R} \Rightarrow \boxed{d_{5\Delta} = \frac{d_{5e}}{\sqrt{2}}}$$

On doit donc avoir $d_{5\Delta} = G(5\omega_0) d_{5e} = \frac{1}{\sqrt{2}} d_{5e}$.

$$\text{soit } G(5\omega_0) = \frac{1}{\sqrt{2}} = \frac{1}{\sqrt{1 + \left(\frac{5\omega_0}{\omega_c}\right)^2}}$$

$$\Rightarrow \frac{5\omega_0}{\omega_c} = 1 \Rightarrow \boxed{\omega_c = 5\omega_0}$$

Atténuation de puissance :

$$\rightarrow \text{sur le fondamental : } \frac{\bar{P}_{1\Delta}}{\bar{P}_{1e}} = \frac{d_{1\Delta}^2}{d_{1e}^2} = G^2(\omega_0) = \left(\frac{1}{\sqrt{1 + \left(\frac{\omega_0}{5\omega_0}\right)^2}} \right)^2 = \frac{1}{1 + \frac{1}{25}}$$

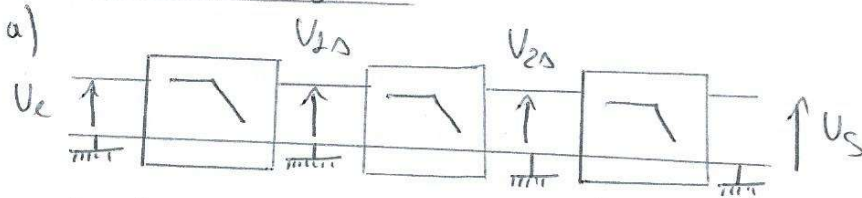
$$\text{soit } \frac{\bar{P}_{1\Delta}}{\bar{P}_{1e}} = \frac{25}{26} \approx \underline{0,961}$$

$$\rightarrow \text{sur l'harmonique de rang 3 : } \frac{\bar{P}_{3\Delta}}{\bar{P}_{3e}} = \frac{d_{3\Delta}^2}{d_{3e}^2} = \frac{1}{1 + \left(\frac{3}{5}\right)^2} = \frac{25}{34} = \underline{0,735}$$

$$\rightarrow \text{sur l'harmonique de rang 7 : } \frac{\bar{P}_{7\Delta}}{\bar{P}_{7e}} = \frac{d_{7\Delta}^2}{d_{7e}^2} = \frac{1}{1 + \left(\frac{7}{5}\right)^2} = \frac{25}{74} = \underline{0,331}$$

$$\text{Puis } \frac{d_{7\Delta}}{d_{3\Delta}} = \frac{G(7\omega_0) d_{7e}}{G(3\omega_0) d_{3e}} = \frac{1}{49} \times \frac{\sqrt{1 + \left(\frac{1}{5}\right)^2}}{\sqrt{1 + \left(\frac{7}{5}\right)^2}} = \frac{1}{49} \times \frac{\sqrt{0,331}}{\sqrt{0,961}} = \underline{0,0114} \geq \underline{1\%}$$

③ Cascade de 3 filtres:



⚠ Le courant de sortie de chaque étage doit être nul afin de pouvoir exploiter la FTSO de chaque filtre.

⇒ l'impédance d'entrée du filtre doit être très importante
ex: $R = 10 \text{ k}\Omega$ avec $Z_e(\text{filtre}) \uparrow$

$$H_T(j\omega) = \frac{U_s}{U_e} = \frac{U_s}{U_{2s}} \times \frac{U_{2s}}{U_{1s}} \times \frac{U_{1s}}{U_e} = H(j\omega)^3 \Rightarrow \boxed{H_T(j\omega) = \left(\frac{1}{1 + j\frac{\omega}{\omega_c}} \right)^3}$$

1) Atténuation de la puissance.

• fondamental: $\frac{\bar{P}_{1s}}{\bar{P}_{2e}} = \frac{d_{1s}^2}{d_{2e}^2} = G_T^2 = \left(\frac{1}{1 + \left(\frac{1}{5}\right)^2} \right)^3 = \left(\frac{25}{26} \right)^3 = 0,888$

• harmonique rang 3: $\frac{\bar{P}_{3s}}{\bar{P}_{3e}} = \frac{d_{3s}^2}{d_{3e}^2} = G_T^2(3\omega_c) = \left(\frac{1}{1 + \left(\frac{3}{5}\right)^2} \right)^3 = \left(\frac{25}{34} \right)^3 = 0,397$

• 5: $G_T^2(5\omega_c) = \frac{1}{2^3} = \frac{1}{8} = 0,125$

• 7: $G_T^2(7\omega_c) = \left(\frac{1}{1 + \left(\frac{7}{5}\right)^2} \right)^3 = \left(\frac{25}{74} \right)^3 = \left(\frac{25}{74} \right)^3 = 0,038$

$$\frac{d_{7s}}{d_{1e}} = \frac{G(7\omega_c)}{G(\omega_c)} \times \frac{d_{7e}}{d_{1e}} = \left(\frac{25}{74} \right)^{3/2} \times \frac{1}{\left(\frac{25}{26} \right)^{3/2}} \times \frac{1}{7^2} = \left(\frac{26}{74} \right)^{3/2} \times \frac{1}{7^2} = 0,4\%$$

Atténuation du filtre en dB:

$$G(\omega \rightarrow \infty) = \frac{1}{| -j\frac{\omega}{\omega_c} |^3} = \frac{\omega_c^3}{\omega^3} \rightarrow G_{dB} = 20 \log \omega_c^3 - 60 \log \omega$$

⇒ -60 dB / décade

Exercice n°5: Linéarité et non linéarité des filtres

① Par définition, un filtre linéaire ne peut pas faire apparaître en sortie des fréquences non présentes en entrée (le filtre n'agit que sur l'amplitude et la phase, donc:

→ le filtre 1 est non linéaire en raison de la présence de 2 raies supplémentaires par rapport au spectre du signal d'entrée (à 5 kHz et 6 kHz)

→ les filtres 2 et 3 sont à priori linéaires

② → filtre 2 laisse l'harmonique 4 inchangé alors que 3 est un peu atténué et 2 très fortement \Rightarrow filtre passe-haut avec $f_c \approx 2 \text{ kHz}$

→ filtre 3 laisse quasi inchangés les harmoniques 1 et 2 atténué 3, et fait disparaître 4 \Rightarrow passe-bas avec $f_c = 3 \text{ kHz}$.

Exercice n°7 Détection de signaux p-ondes

① a) PB \Rightarrow ne garde que la CC or $i.e. \langle \Delta(t) \rangle = 0 \Rightarrow$ insuffisant

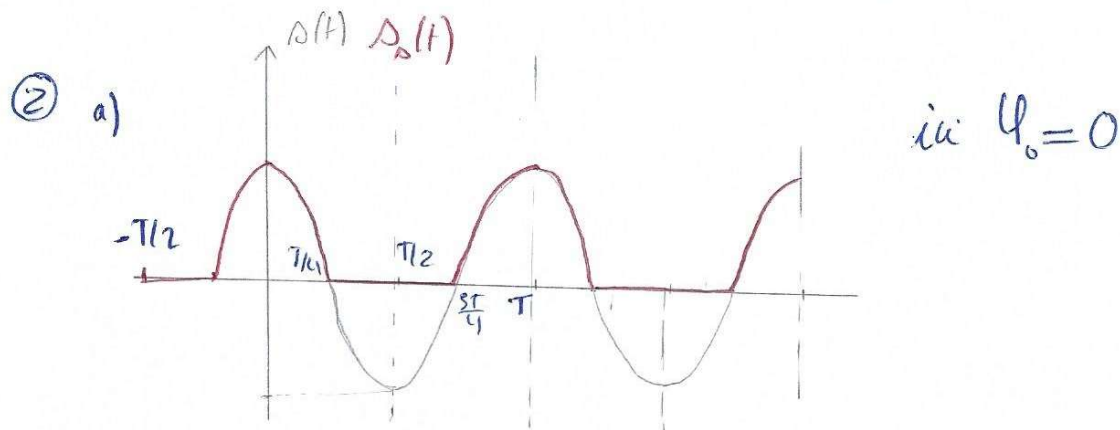
b) On peut écrire le signal de phase à l'origine instable:

$$\Delta(t) = A \cos(\underbrace{2\pi f t + \varphi_0(t)}_{\varphi(t)})$$

la fréquence de ce signal est par définition $f_s = \frac{1}{2\pi} \frac{d\varphi(t)}{dt}$

$$f_s = \frac{1}{2\pi} \left(2\pi f + \frac{d\varphi_0(t)}{dt} \right) \Rightarrow f_s = f + \frac{1}{2\pi} \left(\frac{d\varphi_0(t)}{dt} \right)$$

\Rightarrow fréquence non stable \Rightarrow non filtrable $= f(t)$ à priori non linéaire



b) Alternances négatives coupées.

c) partie hors programme mais pas inintéressante!

car valeur moyenne: $a_0 = \frac{1}{T} \int_T \underbrace{\Delta_A(t)}_{\text{pair}} dt = \frac{2}{T} \int_0^{T/2} \Delta_A(t) dt = \frac{2}{T} \int_0^{T/4} A \cos(\omega t) dt$

$$= \frac{2}{T} \frac{A}{\frac{2\pi}{T}} \left[\sin \omega t \right]_0^{T/4} = \frac{2A}{2\pi} \left[\sin \frac{\pi}{2} \right] = \frac{A}{\pi}$$

$$\begin{aligned}
 a_m &= \frac{2}{T} \int_0^T f(t) \cos(mt) \cdot dt = \frac{2}{T} \int_{-T/4}^{T/4} A \cos(\omega t) \cos(mt) \cdot dt \\
 &= \frac{4A}{T} \int_0^{T/4} \cos \omega t \cos mt \cdot dt = \frac{4A}{2T} \left\{ \int_0^{T/4} \cos(m-1)\omega t \cdot dt + \int_0^{T/4} \cos(m+1)\omega t \cdot dt \right\} \\
 &= \frac{2A}{T} \frac{\sin(m-1)\pi/2}{(m-1)\omega} + \frac{2A}{T} \frac{\sin(m+1)\pi/2}{(m+1)\omega} \\
 &= \frac{A}{\pi} \frac{\sin(m-1)\pi/2}{(m-1)} + \frac{A}{\pi} \frac{\sin(m+1)\pi/2}{(m+1)}
 \end{aligned}$$

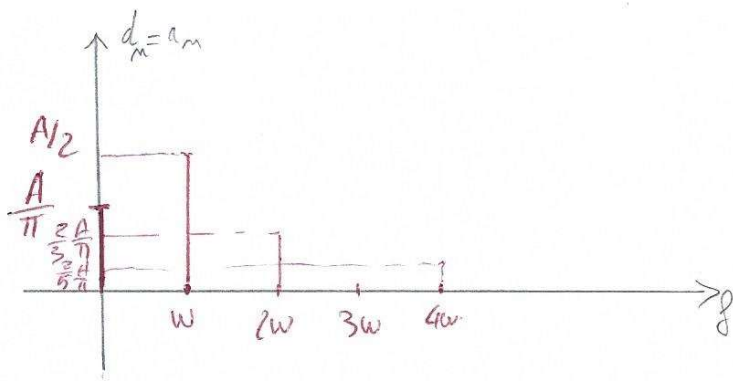
*** Δ l'intégrale non calculable pour $m=2$:

\Rightarrow on calcule séparément les cas $m=2$ et $m>2$

$$\rightarrow a_1 = \frac{2A}{T} \left\{ \int_0^{T/4} dt + \int_0^{T/4} \cos 2\omega t \cdot dt \right\} = \frac{2A}{T} \left\{ \frac{T}{4} + \frac{\sin \pi}{2\omega} \right\} = \frac{A}{2}$$

$$\begin{aligned}
 \rightarrow a_2 &= \frac{2A}{T} \left\{ \int_0^{T/4} \cos(\omega t) \cdot dt + \int_0^{T/4} \cos(3\omega t) \cdot dt \right\} = \frac{2A}{T} \left\{ \frac{\sin \frac{\pi}{2}}{\frac{2\pi}{T}} + \frac{\sin(\frac{6\pi}{T} \frac{T}{4})}{\frac{3\pi}{T}} \right\} \\
 &= \frac{A}{\pi} - \frac{2A}{\pi} \times \frac{1}{\frac{6\pi}{T}} = \frac{A}{\pi} - \frac{A}{3\pi} = \frac{2}{3} \frac{A}{\pi}
 \end{aligned}$$

$$\begin{aligned}
 \rightarrow a_3 &= \frac{2A}{T} \left\{ \int_0^{T/4} \cos 2\omega t \cdot dt + \int_0^{T/4} \cos(4\omega t) \cdot dt \right\} \\
 &= \frac{2A}{T} \left\{ \frac{\sin \pi}{2\omega} + \frac{\sin 2\pi}{4\omega} \right\} = 0
 \end{aligned}$$

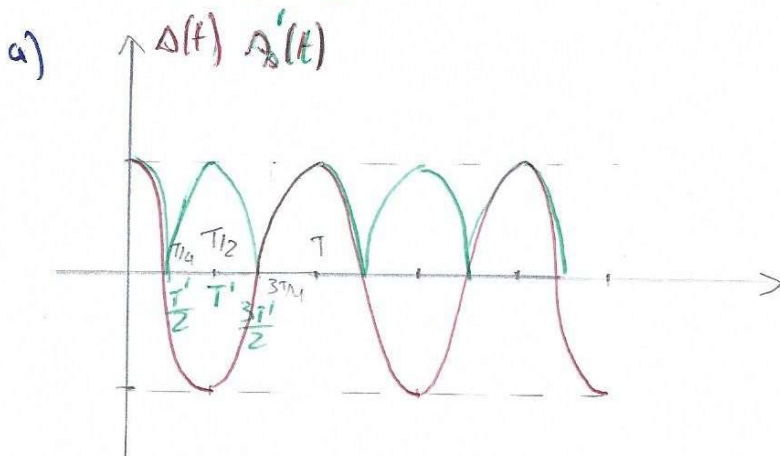


d) \Rightarrow filtre passe-bas passif avec $\omega_c \ll \omega \Rightarrow D = \frac{A}{\pi} \Rightarrow \boxed{\frac{D}{A} = \frac{1}{\pi}}$
 ne récupère que la CC du signal) avec $H(j\omega) = \frac{1}{1+j\omega\tau}$

NB: si filtre actif: $H(j\omega) = \frac{H_0}{1+j\omega\tau}$

$$D = \frac{H_0 A}{\pi} \Rightarrow \boxed{\frac{D}{A} = \frac{H_0}{\pi}}$$

③ Allure du signal:



NB: fréquence du fondamental doublée pour $\Delta'(t)$ par rapport à $\Delta(t)$
 \rightarrow calcul identique des a_1, a_2, a_3 pour $\begin{matrix} \omega \rightarrow 2\omega \\ T \rightarrow \frac{T}{2} \end{matrix}$
 \Rightarrow m mettre à facteur multiplicatif près.

a) Avantage: "plus de tps passé" en alternance > 0

\Rightarrow valeur moyenne augmentée

Calcul: $\langle \Delta'(t) \rangle = a'_0 = \frac{1}{T'} \int_{(T)} \Delta'(t) \cdot dt = \frac{1}{T'} \int_{-\pi/2}^{\pi/2} \cos(\omega t) \cdot dt = \frac{2}{T'} \int_0^{\pi/2} \cos \omega t \cdot dt$

$$a'_0 = \frac{2A}{T'} \left[\sin \frac{2\pi \frac{T}{4}}{\frac{2\pi}{T}} \right] = \frac{A}{\frac{T}{2} \frac{\pi}{T}} = \frac{2A}{\pi} \Rightarrow D' = \frac{2A}{\pi} \text{ en sortie du PB2}$$

donc $\frac{D'}{A} = \frac{2}{\pi}$ l'amplitude est doublée en sortie du PB
 \Rightarrow meilleure détection p-ondes
 (plus "sensible")

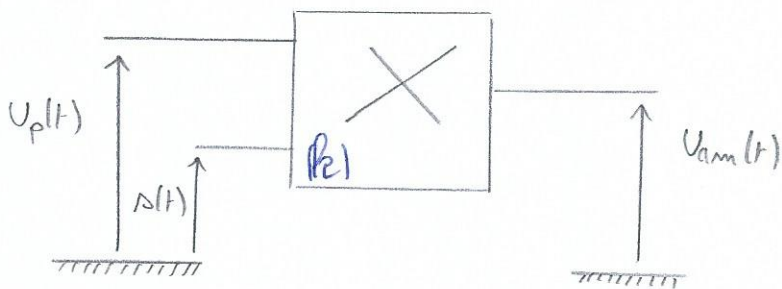
Atténuation du filtre: -60 dB / décade

dans le détail: $G'(w) = \frac{1}{\left(\sqrt{1 + \left(\frac{w}{w_c}\right)^2}\right)^3} \xrightarrow{w \rightarrow \infty} \frac{1}{\left(\frac{w}{w_c}\right)^3} = \left(\frac{w_c}{w}\right)^3$

$$G'_{dB} = 20 \log G'(w) \xrightarrow{w \rightarrow \infty} 20 \log \left(\frac{w_c}{w}\right)^3 = 70 \log w_c^3 - 60 \log w$$

-60 dB / décade

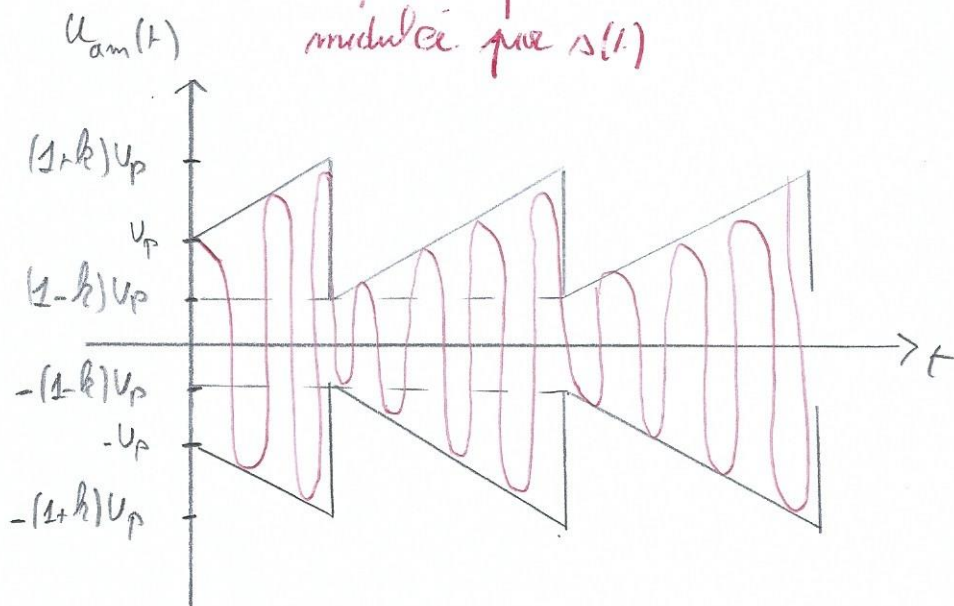
Exercice n°8: Analyse spectrale d'une modulation.



$$u_{am}(t) = [k s(t) + 1] \times u_p(t) \quad \text{avec } k = 0,67 \text{ V}^{-1}$$

$$= \underbrace{u_p [k s(t) + 1]}_{\text{amplitude du signal } u_p \text{ modulée par } s(t)} \times \cos(w_p t)$$

①



② Analyse spectrale.

a) $\Delta(t)$ impair $\Rightarrow a_{n>0} = 0 \Rightarrow \Delta(t) = \sum_{n=1}^{\infty} b_n \sin(n\Omega t)$
 $(\Omega = 2\pi f)$

b) $b_n = \frac{2}{T} \int_{-T/2}^{T/2} \underbrace{\Delta(t)}_{\text{pair}} \sin(n\Omega t) \cdot dt = \frac{4}{T} \int_0^{T/2} \underbrace{\Delta(t)}_{\frac{2S_m}{T} t} \sin(n\Omega t) \cdot dt$

$$= \frac{8S_m}{T^2} \int_0^{T/2} t \sin(n\Omega t) \cdot dt$$

$$\stackrel{\text{IPP}}{=} \left\{ \left[-\frac{\cos(n\Omega t) \times t}{n\Omega} \right]_0^{T/2} + \int_0^{T/2} \frac{\cos(n\Omega t)}{n\Omega} \cdot dt \right\} \frac{8S_m}{T^2}$$

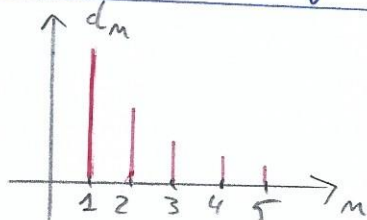
$$= \left\{ \frac{-\cos(n\pi) \times \frac{T}{2}}{n \frac{2\pi}{T}} + 0 \right\} \frac{8S_m}{T^2}$$

$$= \frac{2S_m}{\pi} \frac{(-\cos n\pi)}{n} = \frac{2S_m}{\pi} \frac{(-1)^{n+1}}{n}$$

c) Evolution de l'amplitude des harmoniques en $\frac{1}{n}$

\Rightarrow 5 composantes sont nécessaires. $\Delta(t) \approx \frac{2S_m}{\pi} \sum_{n=1}^5 \frac{(-1)^{n+1}}{n} \sin(n\Omega t)$

d) Allure du spectre de signal.



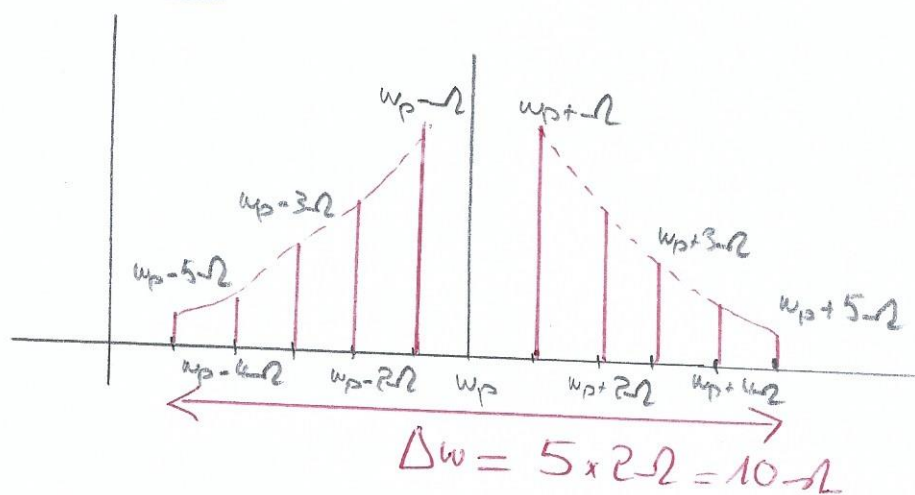
c) Calcul du spectre de $u_{An}(t) \Rightarrow$ pas de calcul des coefficients de F.
 \rightarrow calcul de la fct sous forme de
 somme de composantes
 sinusoïdales

$$\begin{aligned} u_{An}(t) &= U_p [k \Delta(t) + 1] \cos(\omega_p t) \\ &= U_p \cos \omega_p t + k U_p \cos(\omega_p t) \sum_{n=1}^5 (-1)^{n+1} \frac{2S_m}{n\pi} \sin(n-2)t \\ &= U_p \cos(\omega_p t) + \frac{2S_m k U_p}{\pi} \sum_{n=1}^5 \frac{(-1)^{n+1}}{n} \sin(n-2)t \cos(\omega_p t) \\ &= U_p \cos(\omega_p t) + \frac{2S_m k U_p}{\pi} \sum_{n=1}^5 \frac{(-1)^{n+1}}{n} \frac{1}{2} [\sin(\omega_p + n - 2)t + \sin(\omega_p - n - 2)t] \end{aligned}$$

formule: $\sin a \cos b = \frac{1}{2} [\sin(a+b) + \sin(a-b)]$

$$u_{An}(t) = U_p \cos(\omega_p t) + \frac{S_m k U_p}{\pi} \sum_{n=1}^5 \frac{(-1)^{n+1}}{n} [\sin(\omega_p + n - 2)t + \sin(\omega_p - n - 2)t]$$

Alors du spectre :



③ a) $\Delta(t) = 0 \Rightarrow u_{An}(t) = U_p \cos \omega_p t \Rightarrow P_0 = \frac{U_p^2}{2R}$

$\Delta(t) \neq 0 \Rightarrow$ par égalité de Parseval.

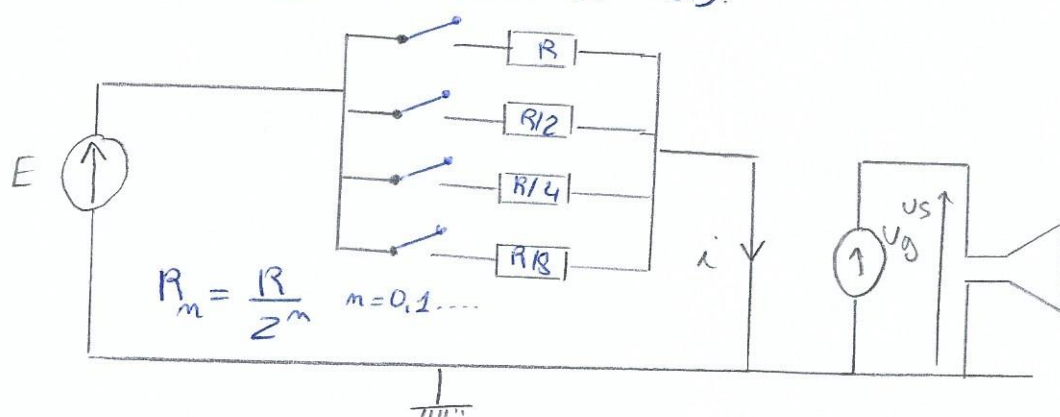
$$P = \frac{U_p^2}{2R} + 2 \times \sum_{n=1}^5 \left(\frac{S_m k U_p}{\pi} \right)^2 \frac{1}{n^2} \frac{1}{2R}$$

$$P = \frac{U_p^2}{2R} + 2 \times \frac{U_p^2}{2R} \times \left(\frac{S_m h}{\pi} \right)^2 \sum_{n=2}^5 \frac{1}{n^2}$$

$$\Rightarrow P = \frac{U_p^2}{2R} \left[1 + 2 \left(\frac{S_m h}{\pi} \right)^2 \left(1 + \frac{1}{4} + \frac{1}{9} + \frac{1}{16} + \frac{1}{25} \right) \right] = 1,13$$

c) $\frac{P_0}{P} = \frac{1}{1,13} = 0,88 \Rightarrow$ dissipation plus importante en présence d'un signal modulé \Rightarrow puissance transportée plus importante

Ex n° 11: Etude d'un CNA 4 bits à résistances pondérées dans un lecteur de CD.



$$\textcircled{1} \quad i_m = \frac{E R_m}{R_m} = \frac{2^m E R_m}{R}$$

donc $i = \sum_{m=0}^3 i_m$ et

$$U_s = R' i = R' \frac{E}{R} \sum_{k=0}^3 R_k 2^k$$

\Rightarrow permet la conversion d'un nombre binaire $R_N R_{N-1} \dots R_0$ ($N+1$ bits) en valeur analogique de tension.

$\textcircled{2}$ A.N. $R = R' \quad E = 1V$

0000 $\Rightarrow U_s = 0V$

0001 $\Rightarrow U_s = 1V$

0010 $\Rightarrow U_s = 2V$

0011 $\Rightarrow U_s = 2^0 + 2^1 = 3V$

0100 $\Rightarrow U_s = 2^2 = 4V$

③ Valeur maximale correspondante à un régime "plein" sur 16 bits

$$u_s = \sum_{k=0}^{15} 2^k = 2^0 + 2^1 + \dots + 2^{15} = \frac{1 - 2^{16}}{1 - 2} = 2^{16} - 1 = 65\,535$$

→ Saturation du convertisseur courant-tension

$$\textcircled{4} \quad u_{s_{\max}} = \frac{R' E}{R} \times (2^{16} - 1) \leq V_{\text{sat}} \Rightarrow \frac{R' E}{R} \leq \frac{15}{65\,535} = 2,28 \cdot 10^{-4} \text{ V}$$

③ Valeur maximale correspondante à un régime "plein" sur 16 bits

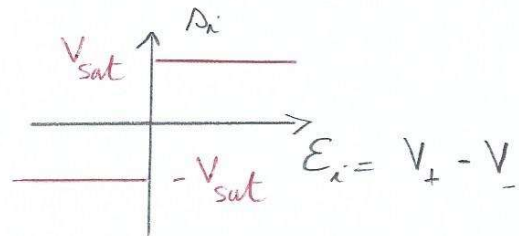
$$U_s = \sum_{k=0}^{15} 2^k = 2^0 + 2^1 + \dots + 2^{15} = \frac{1-2^{16}}{1-2} = 2^{16} - 1 = 65\,535$$

→ saturation du convertisseur courant-tension

$$④ \quad U_{s_{\max}} = \frac{R'E}{R} \times (2^{16} - 1) \leq V_{\text{sat}} \Rightarrow \frac{R'E}{R} \leq \frac{15}{65\,535} = 2,28 \cdot 10^{-4} \text{ V}$$

Exercice n° 13 Etude d'un CAN 11 bits

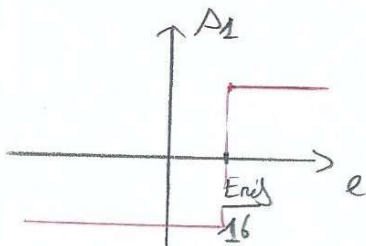
NB: $\Delta_i = \frac{E_i}{|E_i|} V_{\text{sat}} \Rightarrow$



$$① \quad V_1^- = \frac{R}{8R} E_{\text{ref}} = \frac{1}{16} E_{\text{ref}} = 0,5 \text{ V par division de tension}$$

donc comme $V_1^+ = e$ on a :

$$\begin{cases} \Delta_1 = -V_{\text{sat}} \text{ pour } e < \frac{1}{16} E_{\text{ref}} \\ \Delta_1 = +V_{\text{sat}} \text{ pour } e > \frac{1}{16} E_{\text{ref}} \end{cases}$$



② Pour les ALI 2 à 7, la tension V_i^- est encore donnée par la relation du diviseur de tension:

$$V_2^- = \frac{\frac{3}{2}R}{8R} E_{\text{ref}} = \frac{3}{16} \overset{8\text{V}}{E_{\text{ref}}} = 1,5 \text{ V}$$

$$V_6^- = \frac{\frac{11}{2}R}{8R} E_{\text{ref}} = \frac{11}{16} E_{\text{ref}} = 5,5 \text{ V}$$

$$V_3^- = \frac{\frac{5}{2}R}{8R} E_{\text{ref}} = \frac{5}{16} E_{\text{ref}} = 2,5 \text{ V}$$

$$V_7^- = \frac{\frac{13}{2}R}{8R} E_{\text{ref}} = \frac{13}{16} E_{\text{ref}} = 6,5 \text{ V}$$

$$V_4^- = \frac{\frac{7}{2}R}{8R} E_{\text{ref}} = \frac{7}{16} E_{\text{ref}} = 3,5 \text{ V}$$

$$V_5^- = \frac{\frac{9}{2}R}{8R} E_{\text{ref}} = \frac{9}{16} E_{\text{ref}} = 4,5 \text{ V}$$

(+ généralement: $V_i^- = \frac{(2^i - 1)}{16} E_{\text{ref}}$)

e passant de 0 à 7V \Rightarrow bascules nécessaires des 7 ALI:

③

$e(V)$	0	1	2	3	4	5	6	7
Sortie ALI	0000000	0000001	0000011	0000111	0001111	0011111	0111111	1111111
codes 3 bits	000	001	010	011	100	101	110	111

④ Δ le code obtenu n'est pas le code binaire de l'heptet de sortie des ALI
 \Rightarrow nécessité d'un décodeur logique pour traduire en binaire cet heptet

(ex: PV ne correspond pas à 0000011 en binaire)

Idee de fonctionnement: un compteur binaire permet cette conversion.

en effet: on applique la tension e ce qui provoque

\rightarrow bascule du 1^{er} ALI \Rightarrow compteur passe à 001 à $t=0^+$

\rightarrow ——— 2nd ——— \Rightarrow ——— à 010 à $t_1 = \Delta t$

\rightarrow ——— 3^{em} ALI = ——— 011 à $t_2 = 2\Delta t$

tps de propagation
du potentiel entre
ALI1 et ALI2

etc... jusqu'à l'ALI i si $\boxed{\frac{(2^i - 1)}{2} < e < \frac{(2^{i+1})}{2}}$

⑤ 16 bits \Rightarrow code jusqu'à $2^{16} - 1$ i.e $N_{max} = \sum_{k=0}^{15} 2^k = \frac{1 - 2^{16}}{1 - 2} = 2^{16} - 1$

⑥ nbre d'ALI nécessaires: 16 bits permettent de coder $= 65535$
 des tensions comprises entre 0 et 65535 soit 65536 niveaux
 \Rightarrow 65535 A.LI. \Rightarrow coût très important

⑧

Exercice n° 15 Spectre d'un signal numérique

$$\alpha = \frac{T_c}{T_e}$$

$$\begin{aligned} \textcircled{1} C_m &= \frac{1}{T} \int_{-\frac{T}{2}}^{+\frac{T}{2}} f(t) e^{-j m 2\pi \nu t} dt = \frac{1}{T} \int_{-\frac{\alpha T_e}{2}}^{+\frac{\alpha T_e}{2}} \underbrace{f(t)}_E e^{-j m 2\pi \nu t} dt \\ &= \frac{E}{T_e} \int_{-\frac{\alpha T_e}{2}}^{+\frac{\alpha T_e}{2}} e^{-j m 2\pi \nu t} dt = \frac{E}{T_e (-j m 2\pi \nu)} \left[e^{-j m 2\pi \nu \frac{\alpha T_e}{2}} - e^{+j m 2\pi \nu \frac{\alpha T_e}{2}} \right] \\ &= E \alpha \left[\frac{\sin(m\pi\alpha)}{+m\pi\alpha} \right] \Rightarrow C_m = E \alpha \operatorname{sinc}(m\pi\alpha) \quad (1) \end{aligned}$$

$$\begin{aligned} \tilde{I}(\nu) &= \int_{-\infty}^{+\infty} \underbrace{f(t)}_{\substack{\uparrow \\ \text{1 seule impulsion}}} e^{-j 2\pi \nu t} dt = E \int_{-\frac{\alpha T_e}{2}}^{+\frac{\alpha T_e}{2}} e^{-j 2\pi \nu t} dt \\ &= E \left[\frac{e^{-j \pi \alpha} - e^{+j \pi \alpha}}{-j 2\pi \nu} \right] = \frac{E \alpha}{\nu} \left[\frac{\sin(\pi \alpha)}{\pi \alpha} \right] \end{aligned}$$

$$\Rightarrow \hat{I}(\nu) = E \alpha T_e \operatorname{sinc}(\pi \alpha) \quad (2)$$

donc, en identifiant (1) et (2) $C_m = \frac{1}{T} \hat{I}(m\nu)$

$$\textcircled{2} \text{ Qui! } C_m = \frac{1}{T_e} \int_{-\frac{T}{2}}^{+\frac{T}{2}} f(t) e^{-j m 2\pi \nu t} dt$$

$$\hat{I}(\nu) = \int_{-\infty}^{+\infty} \underbrace{f(t)}_{\substack{\uparrow \\ \text{seule impulsion}}} e^{-j 2\pi \nu t} dt$$

$$f_{\text{num}}(t) = f(t) \text{ sur } \left[-\frac{T}{2}; \frac{T}{2}\right] \\ = 0 \text{ ailleurs}$$

$$\text{donc } \hat{I}(\nu) = \int_{-T/2}^{+T/2} g(t) e^{-j2\pi\nu t} dt$$

$$\text{donc } C_m = \frac{1}{T_e} \hat{I}(m\nu) \Rightarrow \text{relation généralisable.}$$

③ Δ 0 ou 1 \Rightarrow impulsion de m puissance en $\sim |\pm E|^2$.

Rappel: $d_m = |C_m|$ et $\int_{\text{eff}}^2 = \frac{1}{2} a_0^2 + \sum_{m=2}^{\infty} d_m^2 \times \frac{1}{2} = \frac{1}{2} \sum_{m=2}^{\infty} |C_m|^2$

$$\Rightarrow \bar{P} = \frac{\int_{\text{eff}}^2}{R} \sim \sum_{m=2}^{\infty} |C_m|^2$$

$$\text{donc } \bar{P} \sim \frac{1}{T^2} \sum_{m=2}^{\infty} |\hat{I}(m\nu)|^2$$

Extension au cas continu:

$$d\bar{P} \sim \frac{1}{T^2} |\hat{I}(\nu)|^2$$

soit $\sim \frac{1}{T} \rightarrow \left(\frac{d\bar{P}}{d\nu} \right) \sim \frac{1}{T} |\hat{I}(\nu)|^2$ densité de puissance.

plutôt:

$$\int_{\text{eff}}^2 = \frac{1}{2} a_0^2 + \frac{1}{2} \sum_{m=2}^{\infty} d_m^2 = \frac{1}{2} \sum_{m=-\infty}^{+\infty} |C_m|^2$$

④ Nouveau signal: porteurs sinusoides qui se succèdent

$$g(t) = g(t) \times A \sin(2\pi\nu_0 t)$$

\equiv modulation:

\hookrightarrow signal de fréquence \int impulsionnel $\frac{d\bar{P}}{d\nu} \sim \frac{|\hat{I}(\nu)|^2}{\text{FFT 1/2 cycle impulsionnel}}$

Allure du spectre

